

(財)電力中央研究所 正会員・角湯正剛
同上 正会員 和田 明

1.はじめに

沿岸海域に面した火力、原子力発電所等より放散される温排水は、海域の生態系に影響を与える可能性があると考えられる。この影響を考えるためにには、生物学的な観察よりの研究が重要であるのは論をまたないが、それとともに、温排水等の人工的な熱負荷のない自然海域における水温変動の特性を把握しておくことは、その環境条件において生息している生態系が自然界より受けける変動の把握であり、人工的な熱負荷の評価される一つの指標と考えられ、重要な要素である。

本文は、これらの観察より、瀬戸内海の東部海域を対象に、海域における自然水温の変動特性を検討したものである。用いたデータは、図-1に示す比較的長期の観測了りてある発電所取水口における水温記録であり、観測期間は、昭和46年4月より昭和51年3月までの約5年間である。

2.水温変動幅について

一般に、海域における水温変動は、一年の周期で振動する周期性を有する。この周期成分に重畠して中、高周波成分の乱れも存在し、これらが合成されたものとしての水温変動が観測されたものである。之故、水温変動を1ヶ月周期以上の周期を有するは周波成分(T_L)、週以上月以下の周期を有する中間周波数成分(T_M)、週以下日以上の周期を有する高周波成分(T_H)に分割し、これら各成分の変動幅について検討した。発電所の取水口で得られた水温記録の測定間隔は1時間である。 T_L 、 T_M 、 T_H の各周波成分への分割は、移動平均法を用いて

図-2に一例として、紀伊水道に面した瀬戸内地帯の原データおよび上記三成分の時間曲線を示す。原データの曲線中で直線で結んである区間は欠測期間である。 T_L 成分には、ほぼ正弦波的形状を示すが、春季の水温上昇期に急激な水温上昇の認められる場合もある。これは、外海域の潮流の影響を受けてるものと考えられる。大阪湾、播磨灘



図-1 観測点位置

は、この現象は認められなかつて、 T_L 、 T_M 成分については、難音信号的性質を有する。しかし、その変動も±1°Cを越えることは稀である。

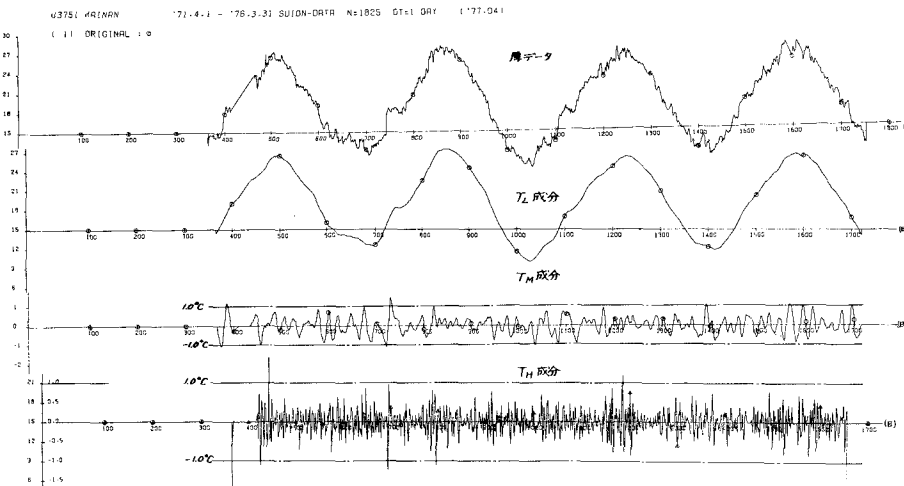


図-2 瀬戸内地帯における原データおよび各周波数成分の時間曲線

これらの変動を定量的に把握するために各年の原データ、 T_{H0} 、 T_{M0} の標準偏差(σ_0 、 σ_M 、 σ_H)を求めて、図-3に各測定年の各日の約5年間平均の標準偏差を示す。 σ_0 、 σ_M については、紀伊水道に面する海南地表を除いて、地表面の変化は小さく、水温定期の冬季、夏季では $\sigma_0=0.7^{\circ}\text{C}$ 、 $\sigma_M=0.3^{\circ}\text{C}$ 程度と小さく、水温上昇期の春季で($\sigma_0=1.2^{\circ}\text{C}$ 、 $\sigma_M=0.5^{\circ}\text{C}$ 程度で、水温下降期の秋季で $\sigma_0=1\sim2^{\circ}\text{C}$ 、 $\sigma_M=0.3\sim0.5^{\circ}\text{C}$ と大きい傾向を示す。海南地表では、1~4月で内海と様相が異なり、 σ_0 、 σ_M とも内海より大きくなる。この時期で海南地表と外洋に大きな水温差の生じる時期であり、そのため水温変動も大きくなつたものと考えられる。 σ_H 成分については、全測定年ほぼ同様の傾向で、年間を通じてほぼ一定の値で $0.2\sim0.4^{\circ}\text{C}$ 程度であるが、 σ_0 、 σ_M とは逆に冬季で大きく、春秋季に小さくなる傾向を有している。

σ_0 、 σ_M は、図-2より雑音信号的であるので、変動が弱めで定義すると、 σ_0 は夏季で約 1°C 、春秋季で約 1.5°C であり、 σ_M については、年間を通じて約 1°C である。

3. 水温変動の相互相関

紀伊水道に面した海南地表、大浴湾の多奈川地表、堺磨難の姫路地表と対象に、各周波数成分の相互相関関数を求めた。全観測期間のデータを用いた相互相関関数を図-4に示す。

原データについては、三地表間の遅れはなくほぼ1日に近い相関を呈する。 T_H 成分については、距離の比較的近い海南、多奈川間に遅れはないが、姫路と海南、多奈川間に約1日の遅れがある。各地表間の最大の相関係数は0.4~0.5とかなり大きな値を示している。 T_M 成分については、海南と多奈川、姫路間に屋代から0のところで相関も認められますが、相関係数は0.3程度といはく、相互に無相関に近づいている。これらの地表間の相互関係をより詳細に検討するため、3月~7月の水温上昇期と9月~1月の水温下降期を取り出し、これらの期間の相互相関を求めた。図-5にその一例を示す。

原データについては、図-2に示したように、全観測期間を用いたものと同様の傾向を有する。 T_H 成分については、水温下降期では比較的高い相関を有するのにに対し、水温上昇期には相関の程度は小さい。各地表間の屋代をみると、水温下降期では海南、多奈川、姫路の順に屋代が0に対し、上昇期では逆となり、内海の方が早く上昇する。 T_M 成分についても、水温上昇期では屋代が0でかなり大きな相関を有するのにに対し、上昇期では無相関である。すなわち、当該海域では、水温が下降する場合には、気象要素のような大きな空間スケールのものが支配的であるに対し、水温が上昇する場合には、それ以外の要素、たとえば外洋と内海との海水交換等の要素も関連しているのではないかと考えられる。

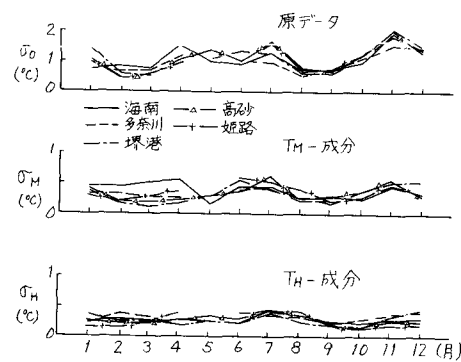


図-3 各周波数成分の標準偏差

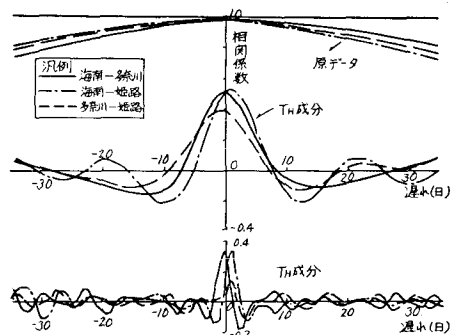


図-4 各周波数成分間の相互相関関数

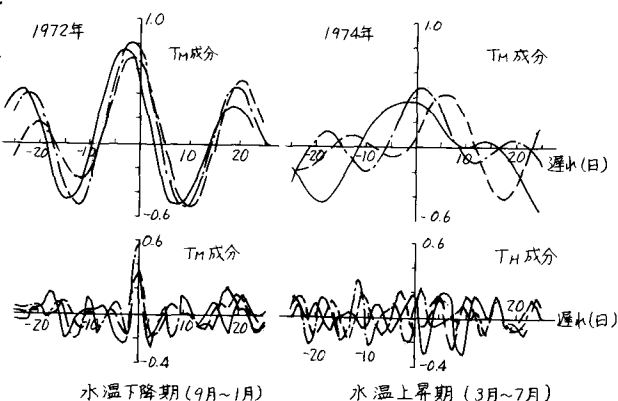


図-5 水温下降期、上昇期の T_H 、 T_M 成分の相互相関